

海岸カスプの形状特性に関する実験と現地の対応性

高知大学農学部 正員 玉井 佐一

1. まえがき

カスプは我が國の多くの海岸においてみられるが、砂浜海岸のすべてについてに形成されるものではなく、また同一地帯に同じ形状のカスプが形成されるとは限らないようである。そのため波浪特性および海岸特性などの地域的变化に大いに左右されることが考へられる。著者は従来カスプの特性について実験的に検討して来たが、その中で、波持性および海岸特性によるカスプの形成領域および形状特性を明らかにし、実験的カスプの特性を把握することことができた。しかし、実験における二つの結果と現地海岸との関係性については明らかでなく、また従来のカスプに関する現地海岸の調査結果においても実験結果との対応性、さらには現地におけるカスプの特性を明確に把握することはできず、統一的なカスプの特性については明らかではない。したがって、著者はまず、太平洋岸の高知海岸および日本海側の鳥取海岸の調査および空中写真、また従来の多くの研究者による調査資料を整理し、現地海岸におけるカスプの特性について検討するとともに、実験結果との対応性について考察する。

2. 現地海岸におけるカスプの形状特性

実験において、前浜上の Beach cusp と汀線の波状性を示す Large cusp の形成が認められ、それらは海岸勾配の効果とともに、その形成機構が異なることを明らかにした。このような現象は自らの現地海岸に詳しく述べ Beach cusp および Large cusp の形状特性と対応し、従来のカスプに関する種々な分類の複雑さより、上記のようない分類が最も簡単な分類であり、妥当であると考えられた。また、現地海岸におけるこれらの判別は写真-1 および写真-2 によると前者の Beach cusp、後者の Large cusp とさうに比較的明確にその相異を認めたが、⁽¹⁾ ところが、著者が二つ二分類に分類した。又 18° 、幅 h_c が高さ h_c の $1/10$ 以下の現地海岸を測定し、形状特性和種別なし。

さて、高知海岸の Beach cusp のスパンは $l_c = 7 \sim 90 \text{ m}$ ($\sim 5 \text{ m}^2$)、一般に $10 \sim 40 \text{ m}$ のものが多かった。このうち Beach cusp の $1/2$ 、後浜の形成された後浜 Beach cusp を前浜上、下段に形成された前浜 Beach cusp をあわせ、前者のスパンは後者の約 2 倍の大きさを示す。次に、カスプの幅 r_1 は $1.2 \sim 2.4 \text{ m}$ 、前浜 Beach cusp の r_1 は $r_1 = 1 \sim 8 \text{ m}$ であり、後浜 Beach cusp の $r_1 = 8 \sim 25 \text{ m}$ 一般に後浜カスプの幅が大きい。また、カスプの高さ h_c は $\sim 2 \text{ m}$ 、前浜カスプの数 10 cm から、後浜カスプの 1.5 m のものまであり、一般に幅と同様、後浜カスプの高さが高いことがわかる。以上、Beach cusp の形状は波持性の変化に左右され、変動している。次に、Large cusp のスパンは $l_c = 800 \sim 1900 \text{ m}$ のものが多いため、Beach cusp に比べて非常に大きく、また、幅については $r_1 = 5 \sim 20 \text{ m}$ のもののが一般的である。通常の海岸のモードは大きな変動はないようである。

以上のカスプの各形状諸元の關係について、スパンと幅との關係は、小向の提案した(1)式および(2)式のとおり、
Beach cusp は(1)式に、Large cusp は(2)式に對応し、Beach cusp \times Large cusp $\propto l_c + r_1$ の關係が正確に成立する。
また、スパン l_c と高さ h_c の関



写真-1 高知海岸における Beach cusp の形状 (1973. 7.)

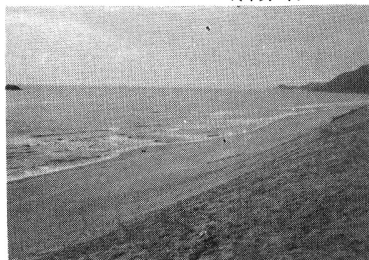


写真-2 鳥取海岸における Large cusp の形状 (1975. 11.)

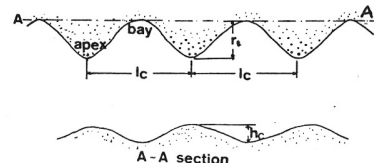


図-1. カスプ模式図

$$l_c = 8.24 + 2.32r_1 \dots (1)$$
$$l_c = 9.60 + 19.20r_1 \dots (2)$$

(m. 幅)

例、Beach cusp の高さと幅との関係は在る(I) 和 F(4)(4)=8.2 乗式である。(m, 単位)

3. カスプの形状特性と現地の実験

高知海岸に在る 2 海藻勾配 $I_o = 1/5 \sim 1/10$ の Beach cusp は、また鳥取海岸に在る 2 海藻勾配 $I_o = 1/40 \sim 1/60$ の Large cusp の形成され、実験に在る 2 海藻勾配海藻に在る Beach cusp の形成とよび結果的配列は在る 3 Large cusp の形成条件と 8.2 の式からわかる。特に、緩勾配の Large cusp の形成条件は日野の離岸流と冲波地形の発達による理論的結果とよく対応がゆくものである。

今、横軸に海藻流量の規模を示すパラメータ $I_o L_c^{1/2}$ Battjes⁴⁾ が提案され、Triberren 教 $I_{ro} = I_o / (H_o / L_o)^{1/2}$ と共に、縦軸にスパン L_c と波波長 L_o の比 L_c / L_o を示したもののが図-2 である。図-1 は高知海岸和鳥取海岸の他に、山口⁵⁾と沖縄、外房、常盤⁶⁾と相模の Beach cusp、小向⁷⁾と函館大森海岸の Beach cusp と Large cusp、Williams⁸⁾ と香港 Stanley bay⁹⁾ と Langset-Higgins¹⁰⁾、Parkin¹¹⁾ とギリヤ¹²⁾と廟海岸 Cheshire beach の調査結果と併せて示す。図中の実線は実験結果が 3.2 よりも大きくなる。一方で、現地海岸に在る 2 調査結果は I_o / L_o の値は同じ I_{ro} の値に沿うてその変動が大きいが実験結果と比較的よく対応がゆく。図-1 において $I_{ro} > 0.5$ の Beach cusp は在りません、 $I_c / L_o = 0.05 \sim 0.6$ の値を示し、Large cusp は $I_{ro} < 0.5$ である、 $I_c / L_o = 0.7 \sim 13.0$ の値を示している。

次に、幅 L_c と波波高 H_o の比 H_o / L_c 縦軸に在る、Triberren 教 I_{ro} の関係について、実験結果と比較して図-3 である。図中の実線は実験結果より 3.2 よりも大きくなる。一方で、現地海岸の調査結果と実験結果と比較的よく合っているのがある。有村、図-1 において $I_{ro} = 0.4 \sim 1.0$ の時に H_o / L_c の値は Beach cusp が 5. 前段カスプの相違し、 $I_{ro} > 1.1$ の後段カスプの値である。

一方、図-4 はカスプの高さ h_c について、理地海岸の実験結果と比較したものである。確率性に考慮した h_c の調査結果が少なくて、明確な傾向説明がむずかしい。大体的には理地結果と実験結果はほぼ一致するといえる。但し、図中の津守¹³⁾と海藻勾配を示す点がある。

4. 結論

以上、カスプの形状特性について現地と実験結果と比較して、対応性について考察したが、各地域に在る現地資料の採用方法の整理方

法が若干異なるが、両者は比較的よい対応がゆくものである。カスプの地形は沿岸砂州の発達または沿岸方向の砂州の変動など、海藻地形特に、碎波帯内に在る前段、後段の地形変動と密接な関係をもつてゐる。このかぎり、カスプの形成とその変動を追跡し、一般的な海藻地形の変動と、その予測はつづけた参考基準のようである。

参考文献

- 1) 佐々木・塙義人・玉野昭次：大津海岸における海藻地形の特徴(3) 年平均年報第 11 号 B, 1974.
- 2) 小向光也：函館大森海岸の海藻地形の研究、水路部報告第 13 号上、下 1956, 1957.
- 3) 日野幹雄：海藻泥の養生用海底強化海藻、1974.
- 4) Battjes J.A. Surf Similarity, 14th Coastal Eng., 1974.
- 5) 山口泰一：常盤海岸の海藻地形、1959, 6) Williams A.T. Soil Sediment. Vol. 43, p. 1973. Petrology
- 7) Langset-Higgins & Parkin : Geograph. Tour. Vol. 128, 1963.

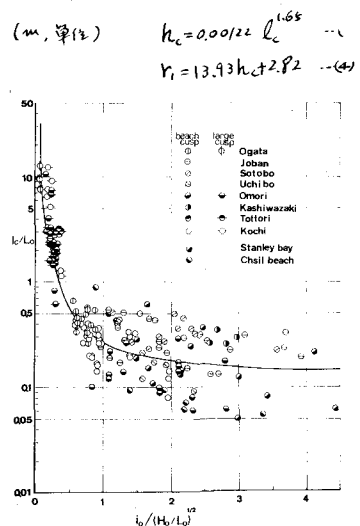


図-2. L_c / L_o と I_{ro} の関係

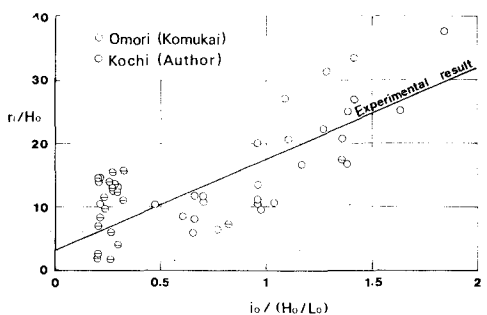


図-3. h_c / H_o と I_{ro} の関係

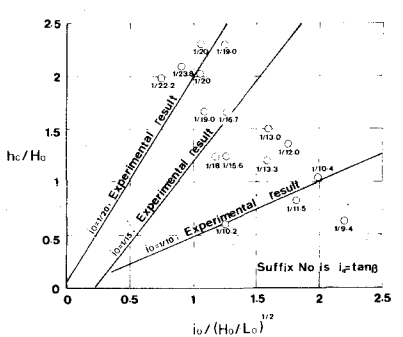


図-4. h_c / H_o と I_{ro} の関係